

УДК 621.391.8.621.396.96

А.Ю. Денисюк, к.т.н., доц.

Житомирський військовий інститут радіоелектроніки ім. С.П. Корольова

АВТОКОМПЕНСАТОР ШИРОКОСМУГОВИХ ПЕРЕШКОД

Розглядається можливість коригування частотної характеристики допоміжного каналу прийому автокомпенсатора за допомогою поліноміальної апроксимації. Пропонується ортогоналізувати канали з метою підвищення ефективності заглушення активних широкосмугових перешкод.

Одним з найбільш ефективних засобів, які створюють суттєві перешкоди роботі РЛС, є закидані передавачі перешкод одноразової дії (ЗПП). З приводу високої чутливості приймальної апаратури РЛС використання навіть одного ЗПП може привести до різкого зниження інформаційних можливостей засобів і, як наслідок, до невиконання задач, які покладаються на них. Внаслідок того, що перешкода, яку створює ЗПП широкосмугова ефективність такого виду протидії, як перебудова несучої частоти, зводиться до нуля [1], [4], [8].

Використання в РЛС таких типових схем перешкодозахисту, як ШАРП і диференціюючі кола, як показали експериментальні дослідження, не знижують ефективності дії перешкод, які створюють ЗПП.

Використання такого способу протидії перешкодам, як пошук і знешкодження для крупноапертурних і високочутливих РЛС, мало прийнятний. Це особливо важливо тоді, коли висуваються жорсткі вимоги до термінів на компенсацію цього виливу, тому що плоні, на яких потрібно вести пошук, досить значні.

Одним зі способів захисту від активних перешкод є просторова фільтрація, яка полягає у формуванні провалів в діаграмі направленості в напрямку на джерело перешкод шляхом зміни АФР на антенному полотні [4], [6], [7]. Підбір його здійснюється дослідними шляхом, що це завжди дозволяє до максимального ступеня ослабити перешкоду.

Досить перспективною є сумісна оцінка цілей і передавачів активних перешкод з послідувачим розділом сигналів [1], [4]. Вона дає добре результати у випадку, якщо з достатньою точністю відома діаграма направленості приймальної РЛС. Це можливо лише для головного і першого – другого бокових пелюстків, тому що на формування послідувачих бокових пелюстків суттєвий вилив здійснює характер підстилаючої поверхні та місцеві предмети. Таким чином, цей спосіб буде неефективним у випадку приходу сигналу активної перешкоди по дальніх бокових пелюстках, що може мати місце при використанні ЗПП.

Найбільш природнім способом захисту від активних широкосмугових перешкод є їх когерентна компенсація за допомогою кореляційного автокомпенсатора [4], [6], [7]. Відомо, що кореляційні автокомпенсатори, які входять до складу РЛС, ефективно працюють лише в тому випадку, якщо частотні спектри перешкод в основному (ОК) та допоміжному каналах (ДК) прийому одинакові, що забезпечує високу кореляцію перешкодових коливань. Така ситуація звичайно спостерігається, якщо джерело активних перешкод вузькосмугове і знаходиться в дальній зоні антени.

Якщо ж джерело активних перешкод широкосмугове, то спектри перешкодових коливань в основному та допоміжному каналах прийому істотно відрізняються.

Таким чином, виникає задача усунення розбіжностей між частотними спектрами перешкоди в основному і допоміжному каналах прийому. Вирішенню цієї задачі і присвячується стаття.

Усуення перекручень частотного спектра перешкоди в основному каналі прийому не є можливим, тому що в основному каналі присутній неперекрученій корисний сигнал, інформативність якого у випадку перетворення спектра сумісні корисного сигналу і перепікоди значно зниζиться. Тому є доцільним, управляючи частотною характеристикою допоміжного каналу, ввести до спектра допоміжного каналу ті ж перекручення, що і в основному каналі.

В [10] для підвищення ефективності роботи кореляційних автокомпенсаторів було запропоновано ввести ланцюги корекції частотних спектрів перешкоди в допоміжному каналі

прийому. В [10] показано, що серед автокомпенсаторів, які мають ланцюги корекції частотного спектра перешкоди в допоміжному каналі прийому, найкращими характеристиками володіють автокомпенсатор з ланцюгом корекції на основі частотно-залежних фільтрів.

Структурна схема кореляційного автокомпенсатора з колом корекції частотного спектра перешкод на основі частотно-залежних фільтрів з різними амплітудно-частотними характеристиками показана на рис. 1 [10].

Склад пристрою:

- 1 – основний канал прийому;
- 2 – допоміжний канал прийому;
- 3 – частотно-залежний фільтр;
- 4 – перша лінія затримки;
- 5 – канальна лінія затримки;
- 6 – управляемий канальний підсилювач;
- 7 – корелятор;
- 8 – суматор.

Для формування частотної характеристики підканалу, що відповідає першому члену полінома $K_0(j\omega)=1$, вихід допоміжного каналу прийому 2 підключений безпосередньо до входу першого підканалу регулювання (підканал регулювання утворюється канальною лінією затримки 5, управляемим канальним підсилювачем 6, корелятором 7). При цьому підканал буде мати рівномірну частотну характеристику $K_0(j\omega)=1$ в межах смуги частот $\Delta\omega$.

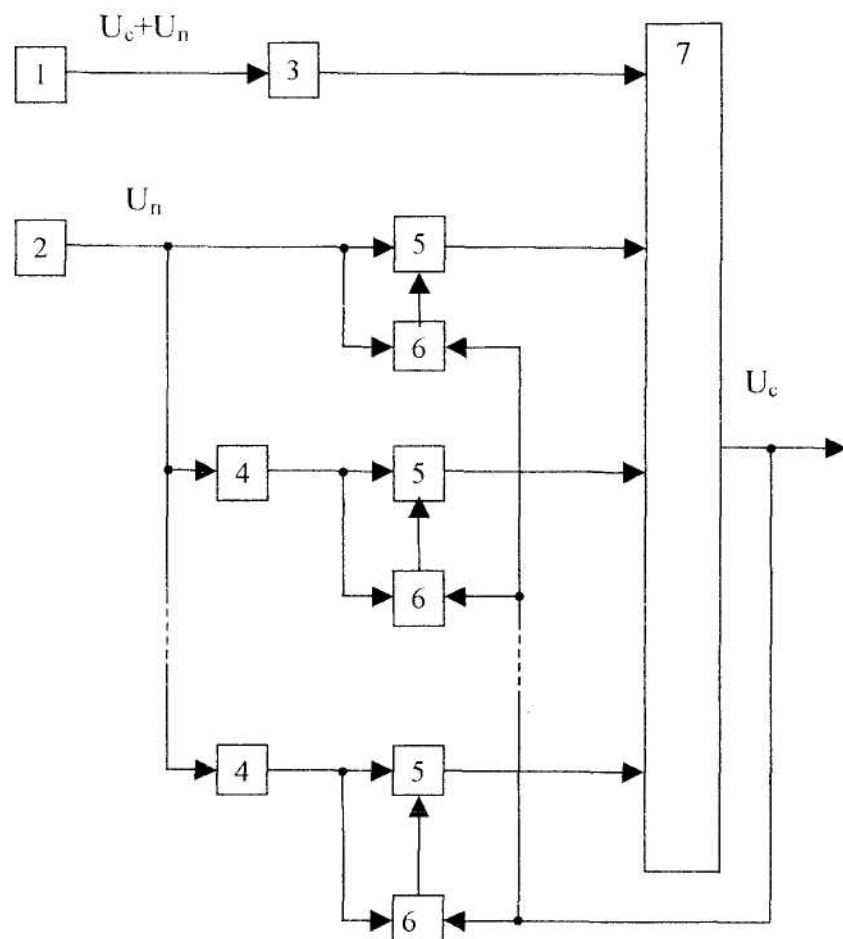


Рис. 1

Недоліком даної схеми є необхідність формування декількох частотно-залежних фільтрів з різними частотними характеристиками. Тому подальшим розвитком цього способу стало використання для корегування частотного спектра перешкоди у допоміжному каналі прийому декількох ідентичних частотно-залежних фільтрів, що мають лінійні частотні характеристики (рис. 2). Схема цього пристрою зображена на рис. 4. Частотно-залежні фільтри також побудовані за схемою, зображену на рис. 3.

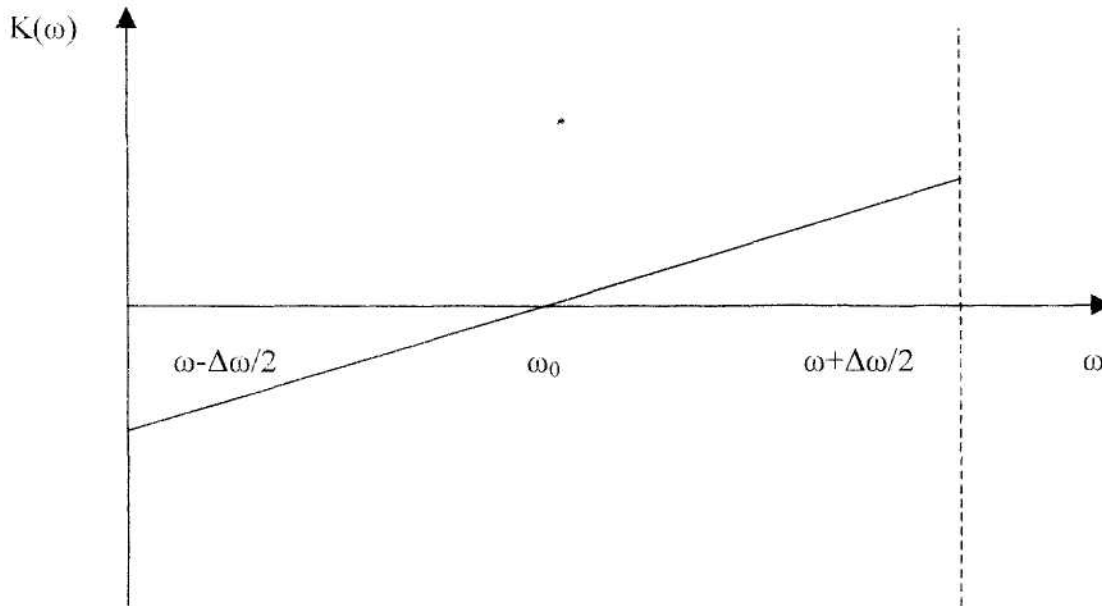


Рис. 2

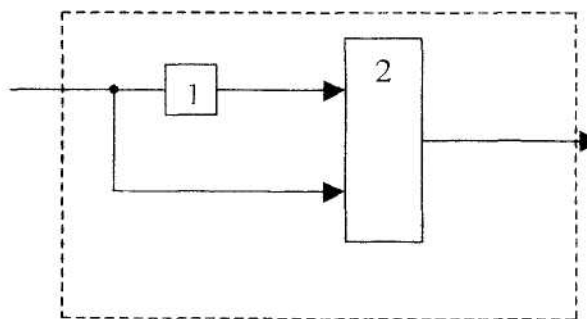


Рис. 3:
1 – лінія затримки; 2 – суматор

Для формування частотних характеристик підканалів, що відповідають решті членам полінома, вихід допоміжного каналу прийому 2 підключений до входів підканалів через послідовно з'єднані частотно-залежні фільтри 3, які мають лінійні частотні характеристики в межах смуги частот $\Delta\omega$ (рис. 3). Завдяки такому з'єднанню у формуванні частотних характеристик підканалів беруть участь фільтри всіх попередніх підканалів. При цьому з підвищенням номера підканалу здійснюється підвищення порядку одночлена, що описує частотну характеристику даного підканалу. Так, другий підканал регулювання буде мати лінійну частотну характеристику, оскільки між виходом допоміжного каналу 2 і входом підканалу підключений один ЧЗФ 3. Третій підканал регулювання з того ж приводу буде мати квадратичну частотну характеристику, четвертий – кубічну і т.д.

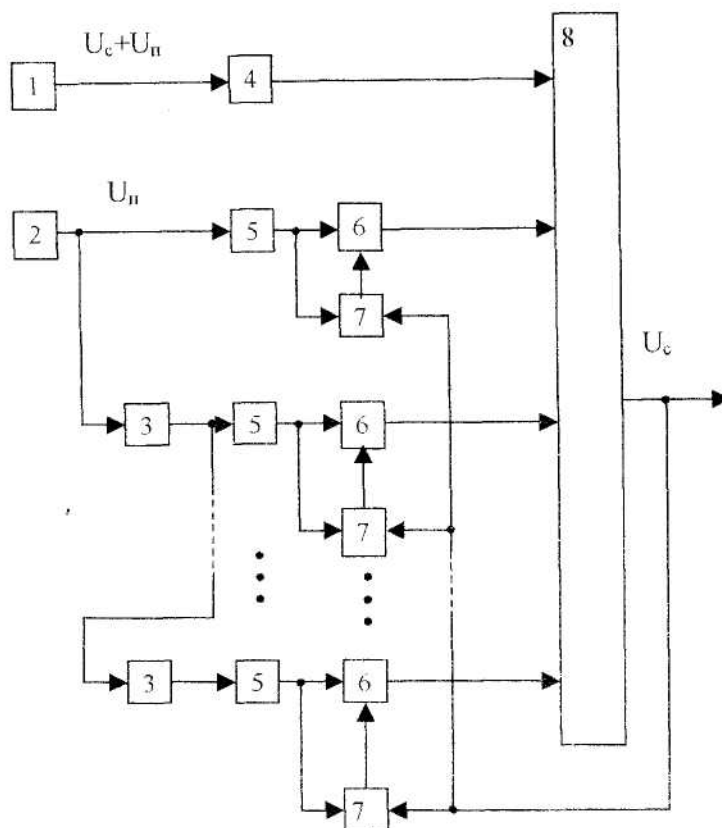


Рис. 4

Частотна характеристика i -го підканалу буде дорівнювати:

$$\dot{K}_i(j\omega) = \left[\dot{K}(j\omega) \right]^{i-1},$$

де $\dot{K}(j\omega)$ – частотна характеристика ЧЗФ 3.

Робота даної схеми повністю аналогічна попередній, що зображена на рис. 1.

Підканали в схемах, зображеніх на рис. 1, 4, не є ортогональними, але відомо, що коливання сигналу в неортогональних підканалах корельовані між собою, що призводить до збільшення часу перехідних процесів.

В автокомпенсаторі (рис. 5) застосовується апроксимація необхідної частотної характеристики коригувального фільтра ваговою сумою ортогональних поліномів Лежандра, первих п'ять з яких мають вигляд [11]:

$$\begin{aligned} P_0(x) &= 1; \quad P_1(x) = x; \quad P_2(x) = \frac{1}{2}(3x^2 - 1); \\ P_3(x) &= \frac{1}{2}(5x^3 - 3x); \quad P_4(x) = \frac{1}{8}(35x^4 - 30x^2 + 3). \end{aligned} \tag{1}$$

Відомо [11], що дві у загальному випадку комплекснозначні функції $\dot{H}_i(f)$ і $\dot{H}_j(f)$ є ортогональними на інтервалі $[f_0 - \Delta f, f_0 + \Delta f]$ з вагою $\dot{W}(f)$, якщо

$$\int_{f_0 - \Delta f}^{f_0 + \Delta f} \dot{H}_i(f) \dot{H}_j^*(f) \dot{W}(f) df = 0.$$

Умова ортогональності для поліномів Лежандра (1) виконуються з одиницею вагою на інтервалі $[-1, 1]$. Для того, щоб зберегти його на інтервалі $[f_0 - \Delta f, f_0 + \Delta f]$, необхідно в наведених поліномах (1) аргумент x замінити на $(f - f_0)/\Delta f$, при цьому частотні характеристики окремих підканалів коригувального фільтра здобувають вигляд:

$$\begin{aligned} \dot{H}_0(f) &= 1; \quad H_1(f) = \frac{f - f_0}{\Delta f}; \quad \dot{H}_2(f) = \frac{1}{2} \left[3 \left(\frac{f - f_0}{\Delta f} \right)^2 - 1 \right]; \\ \dot{H}_3(f) &= \frac{1}{2} \left[5 \left(\frac{f - f_0}{\Delta f} \right)^3 - 3 \left(\frac{f - f_0}{\Delta f} \right) \right]; \quad \dot{H}_4(f) = \frac{1}{8} \left[35 \left(\frac{f - f_0}{\Delta f} \right)^4 - 30 \left(\frac{f - f_0}{\Delta f} \right)^2 + 3 \right], \end{aligned} \quad (2)$$

а частотна характеристика фільтра представляється їхньою ваговою сумою:

$$\dot{H}(f) = \sum_{i=0}^{m-1} K_i \dot{H}_i(f). \quad (3)$$

Робота системи, що реалізує цей спосіб побудови коригувального фільтра, аналогічна описаній вище. Відмінною рисою системи є те, що для формування частотних характеристик компенсаційних підканалів відповідно до виразів (2), додатково введені вагові підсилювачі і суматори. Кількість входів кожного введеного суматора дорівнює числу членів відповідного полінома Лежандра, а коефіцієнти підсилення вагових підсилювачів пропорційні коефіцієнтам при відповідних степенях цього полінома.

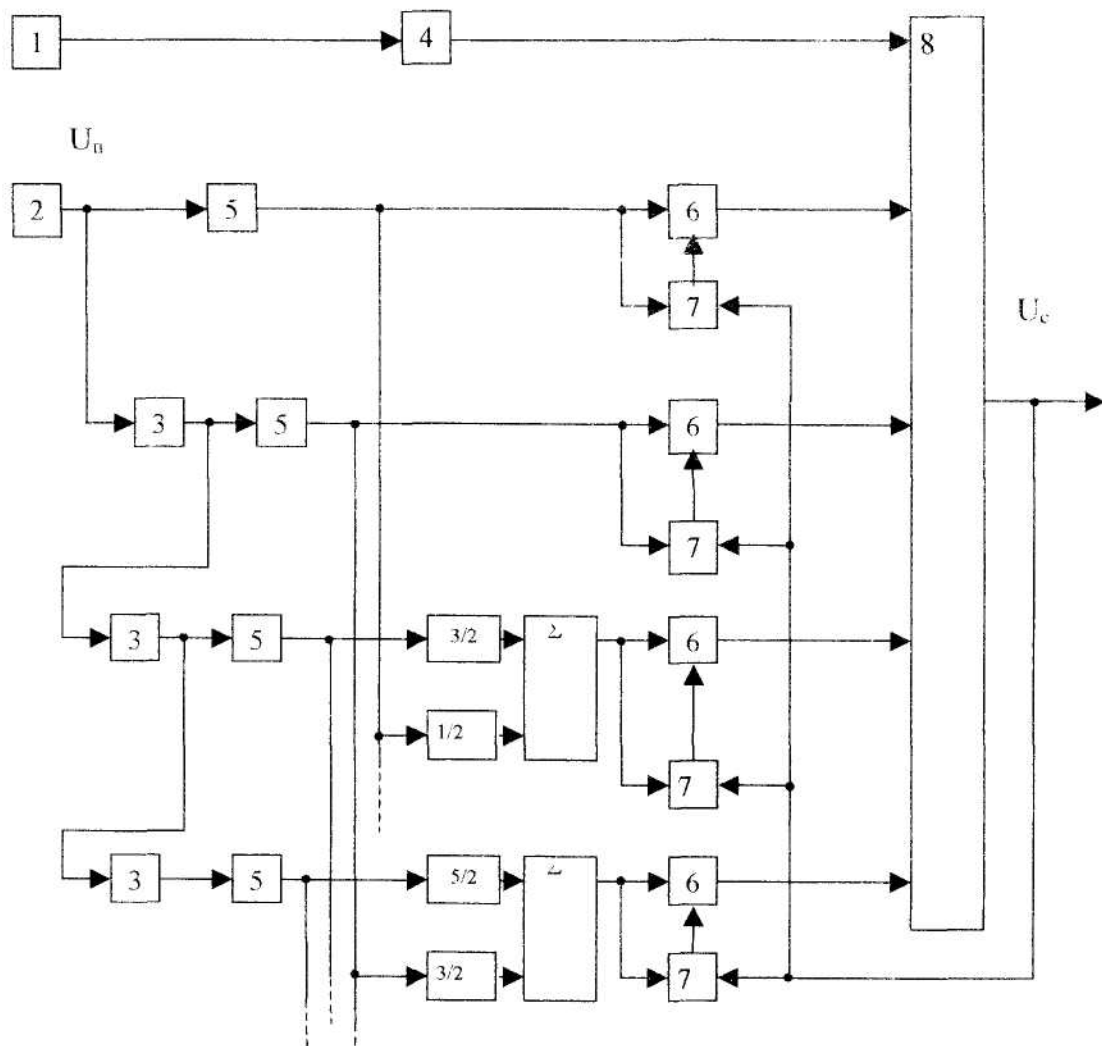


Рис. 5

Для апроксимації необхідної частотної характеристики коригувального фільтра можна скористатися також системою ортогональних поліномів Чебишева першого роду, перші п'ять з яких записуються в такий спосіб [11]:

$$\begin{aligned} P_0(x) &= 1; \quad P_1(x) = x; \quad P_2(x) = 2x^2 - 1; \\ P_3(x) &= 4x^3 - 3x; \quad P_4(x) = 8x^4 - 8x^2 + 1. \end{aligned} \quad (4)$$

Ці поліноми ортогональні на інтервалі $[-1,1]$ з вагою $\frac{1}{\sqrt{1-x^2}}$. Частотні характеристики підканалів, ортогональні в смузі пропускання прийомного пристроя $2\Delta f$, що аналогічно попередньому, можна записати у вигляді:

$$\begin{aligned}\dot{H}_0(f) &= 1; \quad \dot{H}_1(f) = \frac{f - f_0}{\Delta f}; \quad \dot{H}_2(f) = 2\left(\frac{f - f_0}{\Delta f}\right)^2 - 1; \\ \dot{H}_3(f) &= 3\left(\frac{f - f_0}{\Delta f}\right)^3 - 3\left(\frac{f - f_0}{\Delta f}\right); \quad \dot{H}_4(f) = 8\left(\frac{f - f_0}{\Delta f}\right)^4 - 8\left(\frac{f - f_0}{\Delta f}\right) + 1;\end{aligned}\quad (5)$$

при цьому вага $\dot{W}(f) = 1/\sqrt{1 - \left(\frac{f - f_0}{\Delta f}\right)^2}$.

Структурна схема відповідного автокомпенсатора зображена на рис. 6. Множник $\sqrt{\dot{W}(f)}$ може бути реалізований на основі суматора і нелінійного елемента (НЕ), що здійснює операцію витягу кореня і бере зворотну величину.

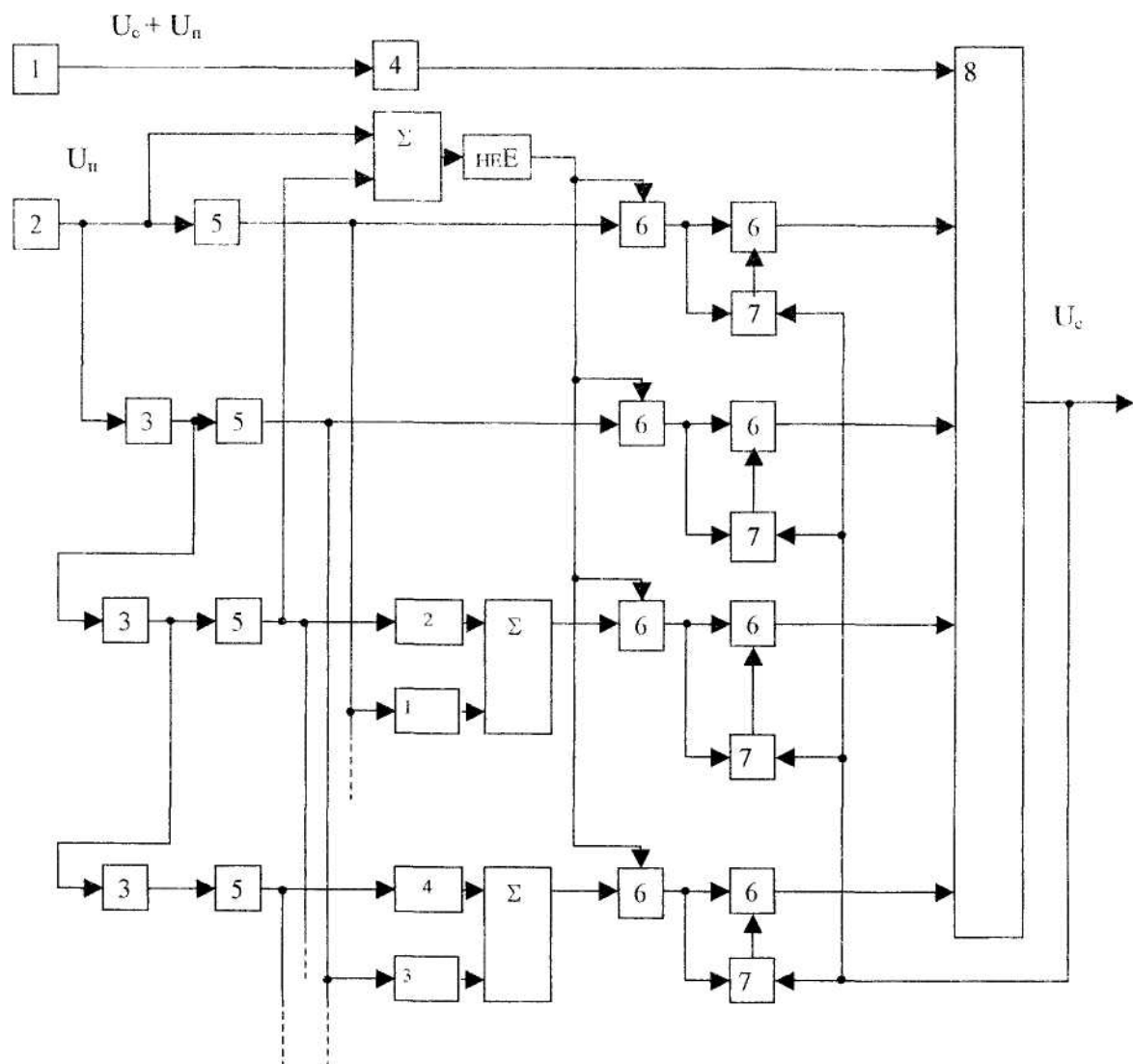


Рис. 6

Результати моделювання показали, що автокомпенсатори (рис. 5, 6) забезпечують середнє значення коефіцієнта заглушення (K_{II}) 32..34 дБ, при цьому нерівномірність характеристики подавлення не перевищує ± 2 дБ.

Висновки.

1. Широкосмуговість перешкоди призведе до декореляції перешкодових коливань в основному та допоміжному каналах прийому, а це призведе до значного зниження ефективності роботи одноканального кореляційного автокомпенсатора.

2. Серед автокомпенсаторів, що мають ланцюги корекції частотного спектра перешкоди в допоміжному каналі прийому, найкращими характеристиками володіють автокомпенсатор з ланцюгом корекції на основі трьох частотно-залежних фільтрів. Середнє значення його коефіцієнта подавлення складає 32...34 дБ при нерівномірності характеристики подавлення не вище ± 2 дБ.

3. Для ортогоналізації підканалів з метою зменшення часу переходних процесів пропонується застосування апроксимації необхідної частотної характеристики коригувального фільтра за допомогою ортогональних поліномів Лежандра і Чебишева.

4. Автокомпенсатори, що мають ланцюги корекції частотного спектра перешкоди в допоміжному каналі прийому на основі ортогональних поліномів Лежандра і Чебишева, мають приблизно однакові характеристики придушення перешкод. Середнє значення їх коефіцієнта придушення складає 32...34 дБ при нерівномірності характеристики подавлення не вище ± 2 дБ. Однак, блок корекції з ланцюгом корекції, що здійснює апроксимацію необхідної частотної характеристики сумаю поліномів Чебишева першого роду, має більш складну конструкцію. Тому більш доцільним є використання блока корекції з ланцюгом корекції, що здійснює апроксимацію необхідної частотної характеристики сумаю поліномів Лежандра. Подальші дослідження доцільно проводити у напрямку оцінки часу переходних процесів в зашпонованих схемах та дослідження можливості ефективного придушення перешкод даного типу за допомогою цифрових пристройів.

ЛІТЕРАТУРА:

- Радіотехніка: Енциклопедичний навчальний довідник: Навч. посібник / За ред. Ю.Л. Мазора, Є.А. Мачуського, В.І. Правди. – К.: Вища шк., 1999. – 838 с.
- Васильєва А.Б., Тихонов Н.А. Интегральные уравнения. – М.: МГУ, 1989. – 156 с.
- Основы научных исследований: Учебное пособие. – К.: Изд-во Европ. Ун-та, 2002. – 110 с.
- Ширман Я.Д. Теоретические основы радиолокации. – М.: Сов.радио, 1970. – 320 с.
- Кинг Р., Тай-Цзунь У. Рассеяние и дифракция электромагнитных волн: Пер. с англ. / Под ред. Э.Л. Бурштейна. – М.: Изд-во ин. литературы, 1962. – 193 с.
- Ширман Я.Д., Монжос В.Н. Теория и техника обработки радиолокационной информации на фоне помех. – М.: Радио и связь, 1981. – 268 с.
- Ширман Я.Д., Монжос В.Н., Лебедев Б.П. Устройство компенсации активных помех в РЛС с частотным сканированием. – М.: Радио и связь, 1986.
- Левин Б.Р. Теоретические основы статистической радиотехники. В 3-х т. – Т. 2 – М.: Сов. радио, 1968.
- Васильєва А.Б., Тихонов Н.А. Интегральные уравнения. – М.: МГУ, 1989. – 156 с.
- Денисюк А.Ю. Використання різних видів апроксимації частотної характеристики допоміжного каналу прийому з метою підвищення ефективності заглушення активних широкосмугових перешкод. – Вісник ЖДТУ. – № 4 (30). – 2004. – С. 9.
- Корн Г., Корн Т. Довідник з математики для науковців і інженерів: Пер. з англ./За ред. Н.Г. Армановича. – М.: Наука, 1977.

ДЕНИСЮК Анатолій Юрійович – кандидат технічних наук, доцент кафедри радіоелектроніки Житомирського військового інституту радіоелектроніки ім. С.П. Корольова.

Наукові інтереси:

- математичне моделювання складних систем;
- обробка радіолокаційної інформації на фоні перешкод;
- підвищення точності вимірю координат на фоні перешкод.